

บทที่ 3

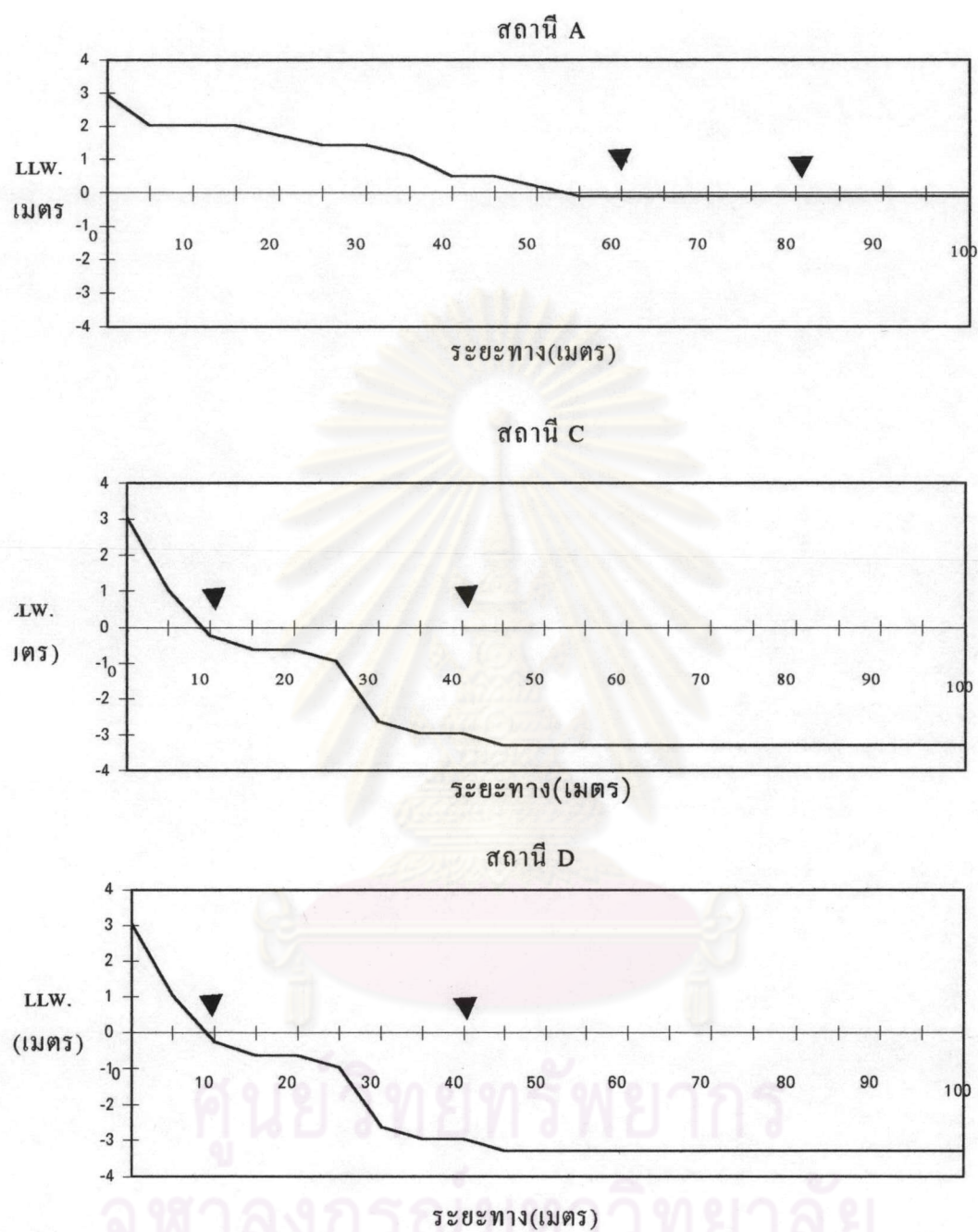
ผลการศึกษา

3.1 ลักษณะโดยทั่วไปของแต่ละสถานี

สถานี A ตั้งอยู่ทางด้านทิศเหนือของเกาะค้างคาว เป็นด้านที่มีความลาดชันน้อยดังแสดงในรูปที่ 3.1 มีความยาวแนวประการังประมาณ 70 เมตร ส่วนความกว้างของประการังในแนวตั้งจากกับชายฝั่งประมาณ 150-200 เมตร มีลักษณะเป็นหาดรายและพื้นหินปูน พบร่องน้ำประการังเพียงไม่กี่ชนิดในบริเวณพื้นที่ทำการศึกษา มี *Porites spp.* เป็นประการังชนิดเด่นที่พบในสถานีนี้ นอกจากนี้พบ *Pocillopora spp.* และ *Pavona spp.* เป็นชนิดรองลงมา

สถานี C ตั้งอยู่ทางด้านทิศใต้ของเกาะค้างคาว เป็นด้านที่ค่อนข้างสูง มีแนวประการังที่อุดมสมบูรณ์ เป็นแนวยาวอย่างต่อเนื่อง ดังรูปที่ 2.1 แนวประการังบริเวณนี้มีความกว้างไม่นานนัก มีความลาดชันของแนวมากกว่าทางด้าน A ดังแสดงในรูปที่ 3.1 ประการังที่พบส่วนใหญ่เป็น *Porites spp.* *Pocillopora spp.* และ *Pavona spp.* โดยพบกระจาดอยู่ทั่วไปทุกร่องดับความลึก

สถานี D ตั้งอยู่ทางทิศตะวันตกของเกาะค้างคาว มีความกว้างของแนวประการังประมาณ 10 เมตร มีความลาดชันน้อยกว่าทางด้าน C ดังแสดงในรูปที่ 3.1 เป็นด้านที่มีแนวประการังสั้น ๆ ส่วนใหญ่จะเป็นแนวประการังที่เกิดขึ้นใหม่ มีลักษณะของพื้นผิวส่วนใหญ่เป็นหิน ประการังที่พบเป็นชนิดเด่นคือ *Porites spp.* ส่วนชนิดที่พบร่องลงมาคือ *Goniastrea sp.* *Pocillopora spp.* เป็นด้านที่รับคลื่นลมแรงในช่วงลมรสุมตะวันตกเฉียงใต้ พบร่องน้ำประการังของตัวอ่อนประการังมาก (Yeemin, 1996)



รูปที่ 3.1 เส้นระดับความลึกเฉลี่ยของสถานีที่ศึกษา A, C และ D

หมายเหตุ ▼ แทนสถานีที่ทำการศึกษา

3.2 การพัฒนาเทคนิคการถ่ายภาพใต้น้ำ

การศึกษาเทคนิคการถ่ายภาพใต้น้ำได้เริ่มทดลองศึกษาบนหาดของ Quadrat ที่เหมาะสมกับการศึกษาในบริเวณอ่าวไทยโดยทำการทดลองร่วมกับนักวิจัยชาวสวีเดน ในการทดลองใช้กรอบถ่ายภาพขนาด 1.0×1.0 ตารางเมตรและใช้ระยะห่างระหว่างวัตถุกับเลนส์ 1 เมตร พนว่าภาพที่ได้มีขนาดของวัตถุที่ถ่ายเล็กเกินไปทำให้ไม่สามารถมองเห็นรายละเอียดของภาพได้ชัดเจน การแยกชนิดของปะการังทำได้ยากและที่สำคัญมีสิ่งรบกวนจากตะกอนและแพลงค์ตอนที่แพร่ลอยอยู่ในน้ำในภาพถ่าย จึงได้มีการปรับเปลี่ยนขนาดของกรอบถ่ายภาพเป็นขนาด 0.5×0.5 ตารางเมตร และทดลองทำจุดถ่ายโดยมีขนาด Quadrat เป็น 0.5×0.5 ตารางเมตร 1.0×1.5 ตารางเมตร และขนาด 1.0×3.0 ตารางเมตร ตามลำดับ

พบว่ากรอบถ่ายภาพขนาด 0.5×0.5 ตารางเมตรสามารถถ่ายภาพได้ชัดเจนและเก็บรายละเอียดต่าง ๆ ได้เป็นอย่างดี แต่ขนาดของ Quadrat ที่ใช้งานนี้ขาดเล็กเกินไป สามารถเก็บรายละเอียดของชุมชนปะการังได้ในพื้นที่ขนาดเล็กเท่านั้น ไม่สามารถเป็นตัวแทนของบริเวณที่ทำการศึกษาได้ จึงได้ทดลองหาขนาดของ Quadrat ที่ใหญ่ขึ้นคือ มีขนาด 3.0×3.0 ตารางเมตร แบ่งพื้นที่เป็นตารางขนาด 0.5×0.5 ตารางเมตร ได้จำนวน 36 ช่อง ตัว Quadrat ทำด้วยห่อ P.V.C. ขนาด $1/4$ นิ้ว เวลาใช้ได้น้ำใช้ต่อ กันทำให้ขนาดของ Quadrat ขนาด 3.0×3.0 ตารางเมตรนี้ใช้งานได้สะดวก มีความคล่องตัวในการทำงานสูงเนื่องจากมีน้ำหนักเบาและมีขนาดที่ไม่ใหญ่จนเกินไป สามารถครอบคลุมพื้นที่บริเวณที่ทำการศึกษาได้มากขึ้นและเป็นตัวแทนของชุมชนปะการังที่ศึกษาได้เป็นอย่างดี

3.3 ลักษณะของปะการังในแต่ละสถานีองค์ประกอบกลุ่มของสิ่งมีชีวิต

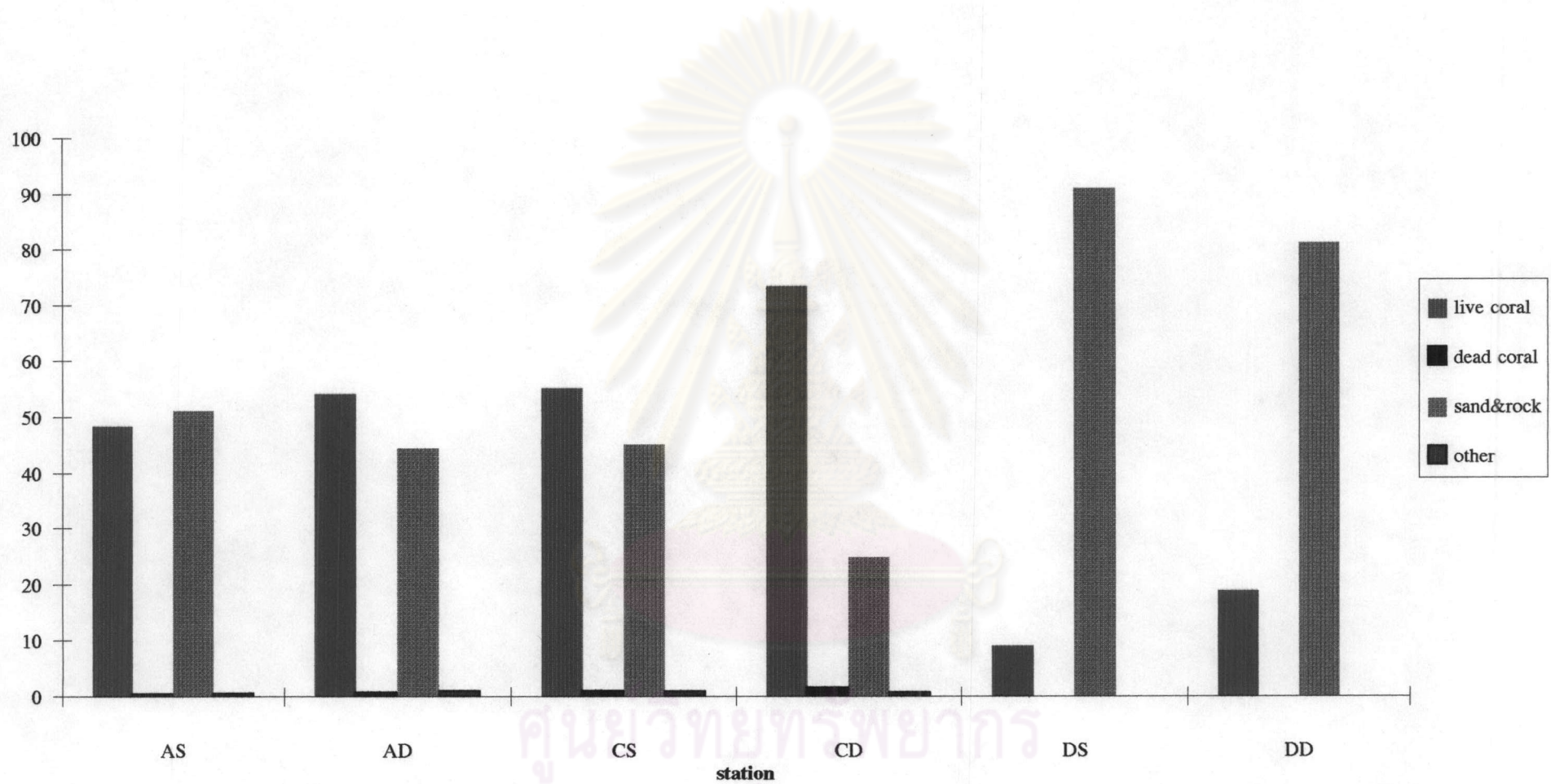
3.3.1 องค์ประกอบของปะการังแยกตามรูปแบบปะการังมีชีวิตและปะการังตาย

เมื่อทำการแยกกลุ่มของสิ่งมีชีวิตและพื้นผิวที่พบใน Quadrat สามารถจำแนกออกเป็นกลุ่ม ๆ ได้ 4 กลุ่มดังนี้ กลุ่มของปะการังมีชีวิตโดยรวมเอาปะการังที่มีชีวิตทั้งหมดรวมกัน กลุ่มปะการังตายโดยรวมเอาปะการังตายทั้งหมดที่พบในบริเวณที่ทำการศึกษาเข้าด้วยกัน กลุ่มของพื้นที่น้ำและทราย และกลุ่มของสิ่งมีชีวิตชนิดอื่น ๆ ที่พบที่ไม่ใช่ปะการัง ซึ่งพบว่าในสถานี A และ C ทั้งในบริเวณที่ตื้นและบริเวณที่ลึกมีกลุ่มปะการังมีชีวิตเป็นองค์ประกอบที่พบมากที่สุด ส่วนในสถานี D ทั้งในบริเวณที่ตื้นและบริเวณที่ลึกพบทรายและหินเป็นองค์ประกอบที่พบมากที่สุด ดังแสดงในตารางที่ 3.1 กราฟรูปที่ 3.2 และ กราฟรูปที่ 3.3 และพบว่าเปอร์เซ็นต์การครอบคลุมพื้นที่ของปะการังมีชีวิตในแต่ละสถานีจะเพิ่มขึ้นในที่ลึกทุกสถานี โดยในสถานี A และสถานี C มีเปอร์เซ็นต์การครอบคลุมพื้นที่มากกว่า 50 เปอร์เซ็นต์ของพื้นที่ทั้งหมดของ Quadrat ส่วนใน

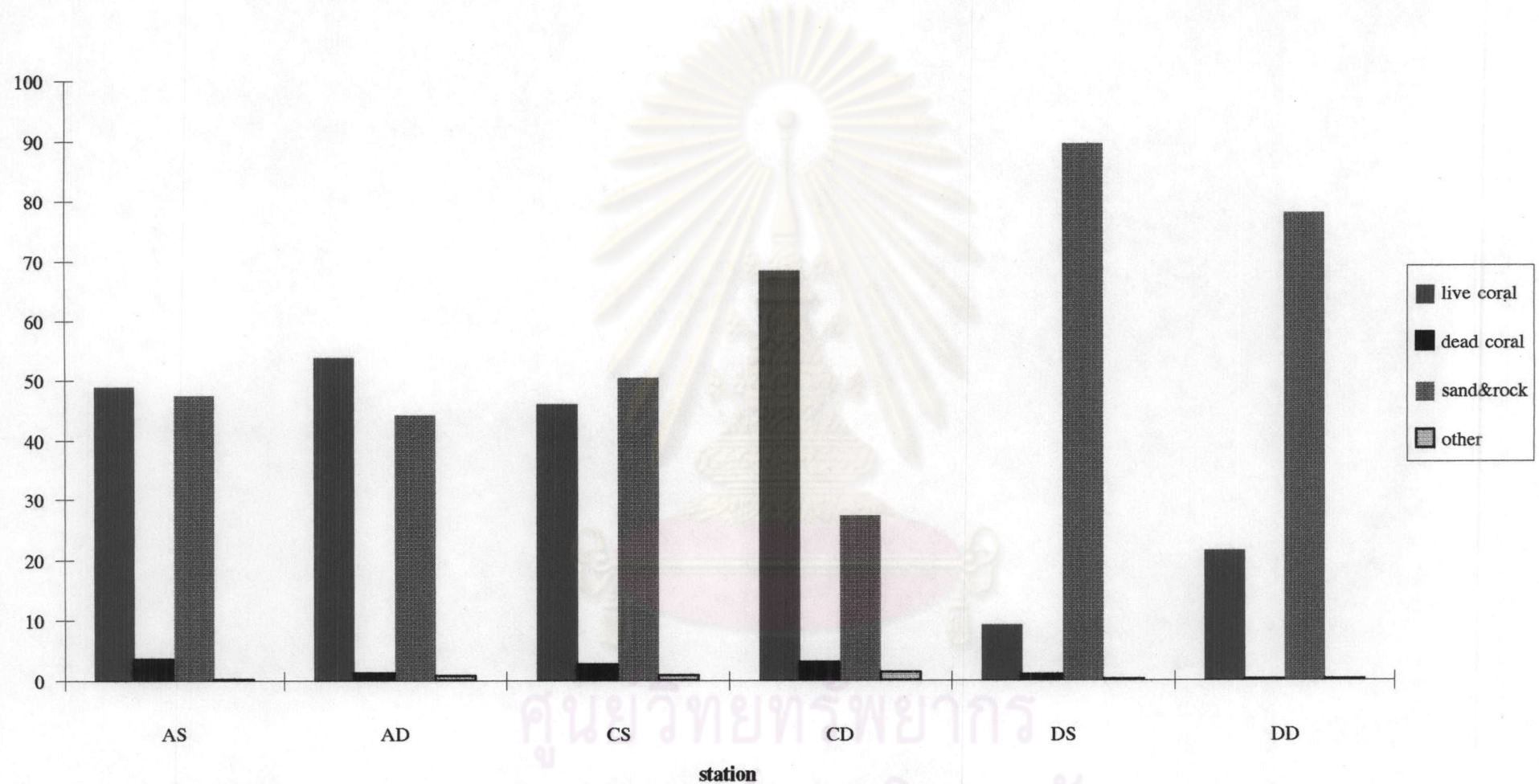
ตารางที่ 3.1 เปอร์เซ็นต์ (Mean±S.D.) ครอบคลุมพื้นผิวของชนิดปะการังมีชีวิต ปะการังตาย หิน และทราย สิ่งมีชีวิตชนิดอื่น ๆ ในสถานี A, C และ D และค่าสัมประสิทธิ์ความแปรปรวน (C.V.) เดือนกรกฎาคม 2538 ถึงกรกฎาคม 2539

| สถานี | ปะการังมีชีวิต | | ปะการังตาย | | หินและทราย | | อื่น ๆ | |
|-------|------------------------|------------------------|----------------------|----------------------|------------------------|------------------------|----------------------|----------------------|
| | ก.ค. 2538 | ก.ค. 2539 | ก.ค. 2538 | ก.ค. 2539 | ก.ค. 2538 | ก.ค. 2539 | ก.ค. 2538 | ก.ค. 2539 |
| AS | 48.36±13.83 (0.286) | 48.86±13.40 (0.274) | 0.35±0.61 (1.732) | 3.53±4.53 (1.286) | 51.11±14.64 (0.286) | 47.43±4.53 (1.286) | 0.19±0.21 (1.104) | 0.18±0.21 (1.187) |
| AD | 54.13±7.55 (0.139) | 53.82±7.79 (0.145) | 0.69±0.61 (0.883) | 1.21±1.15 (0.951) | 44.24±6.98 (0.158) | 44.16±7.09 (0.160) | 0.94±0.95 (1.004) | 0.81±0.72 (0.886) |
| CS | 52.68±16.65 (0.354) | 46.04±18.65 (0.405) | 0.94±0.34 (0.361) | 2.69±0.98 (0.364) | 44.99±17.88 (0.398) | 50.42±18.7 9(0.373) | 1.39±1.15 (0.829) | 0.85±0.18 (0.208) |
| CD | 72.63±17.84 (0.246) | 68.40±20.85 (0.305) | 1.49±0.72 (0.481) | 2.98±1.63 (0.546) | 25.01±17.57 (0.703) | 27.28±19.9 5(0.731) | 0.88±0.30 (0.342) | 1.34±0.46 (0.346) |
| DS | 17.02±7.11 (0.801) | 9.29±7.15 (0.769) | 0.02±0.04 (1.732) | 0.94±0.44 (0.463) | 90.98±7.07 (0.078) | 89.58±6.84 (0.076) | 0.12±0.17 (1.445) | 0.18±0.15 (0.795) |
| DD | 18.73±1.64 (0.088) | 21.54±4.80 (0.223) | 0 | 0.17±0.18 (1.031) | 81.11±1.46 (0.018) | 78.09±4.81 (0.062) | 0.17±0.29 (1.732) | 0.20±0.27 (1.323) |

หมายเหตุ : AS สถานี A ในที่ดิน, AD สถานี A ในที่ลึก, CS สถานี C ในที่ดิน, CD สถานี C ในที่ลึก, DS สถานี D ในที่ดิน, DD สถานี D ในที่ลึก



รูปที่ 3.2 เปอร์เซ็นต์ครอบคลุมของพื้นผิวนิodic ต่าง ๆ ในสถานี A C และ D เดือนกรกฎาคม 2538



รูปที่ 3.3 เปอร์เซ็นต์ครอบคลุมของพื้นผิวนิดต่าง ๆ ในสถานี A C และ D เดือนกรกฎาคม 2539

สถานี D จะมีเปอร์เซ็นต์การครอบคลุมพื้นที่ของปะการังมีชีวิตต่ำกว่า 50 เปอร์เซ็นต์ เมื่อพิจารณาค่าสัมประสิทธิ์ความแปรปรวนของปะการังมีชีวิตในแต่ละสถานี พบว่าในที่ลึกมีค่าลดลง

เมื่อเปรียบเทียบสัดส่วนปะการังมีชีวิตและปะการังตายในระหว่างเดือนกรกฎาคม 2538 และเดือนกรกฎาคม 2539 พบว่าที่สถานี A สัดส่วนดังกล่าวจะค่อนข้างคงที่ แต่ในสถานี C และ D มีสัดส่วนของปะการังมีชีวิตเปลี่ยนแปลงไป ที่สถานี C มีเปอร์เซ็นต์ของปะการังมีชีวิตลดลงทึ้งในที่ตื้นและที่ลึก ส่วนในสถานี D ในบริเวณที่ตื้นมีเปอร์เซ็นต์ปะการังมีชีวิตลดลงแต่เพิ่มขึ้นในที่ลึก

3.3.2 ความแปรปรวนของเปอร์เซ็นต์การครอบคลุมพื้นที่ระหว่างในปะการังมีชีวิต ปะการังตาย พื้นที่น้ำและทราย และสิ่งมีชีวิตชนิดอื่น ๆ ดังแสดงในตารางที่ 3.2

- ในปะการังมีชีวิต พบว่าสถานี ความลึก และระหว่างความลึกกับจำนวนชั้นไม้ผลต่อเปอร์เซ็นต์การครอบคลุมพื้นที่

- ในปะการังตาย พบว่า เวลา สถานี มีผลต่อเปอร์เซ็นต์การครอบคลุมพื้นที่ ส่วนปัจจัยอื่น ๆ พบว่าไม่มีผลต่อการเปลี่ยนแปลงเปอร์เซ็นต์การครอบคลุมพื้นที่

3.3.3 องค์ประกอบของปะการังแยกตามรูปแบบปะการัง

เมื่อทำการแบ่งแยกชนิดปะการังไปตามรูปแบบต่าง ๆ ซึ่งแบ่งเป็น 4 รูปแบบคือ แบบก้อน (massive) ได้แก่ *Porites spp.*, *Goniastrea sp.*, *Sympyllia sp.*, *Platygyra sp.*, *Galaxea sp.*, *Leptastrea sp.*, *Favites spp.* แบบช่อ (branching) ได้แก่ *Pocillopora spp.*, *Pavona sp.* แบบแผ่น (foliose) ได้แก่ *Montipora sp.*, *Turbinaria sp.* และแบบโต๊ะ (tabulate) ได้แก่ *Acropora spp.* ดังรูปที่ 3.4 ถึงรูปที่ 3.7 พบว่าปะการังแบบก้อนจะมีเปอร์เซ็นต์การครอบคลุมพื้นที่มากที่สุด โดยคิดเฉลี่ยเป็นร้อยละ 62.59 ± 31.12 ของรูปแบบของปะการังที่พบทั้งหมด รองลงมาคือปะการังแผ่น ปะการังช่อและปะการังโต๊ะ คิดเฉลี่ยเป็นร้อยละ 3.87 ± 5.29 , 1.53 ± 2.29 และ 0.20 ± 0.36 ของพื้นที่ทั้งหมดตามลำดับ โดยในแต่ละสถานีจะมีค่าดังนี้

สถานี A

พบว่าปะการังแบบก้อนมีเปอร์เซ็นต์การครอบคลุมพื้นที่มากที่สุดทั้งในที่ตื้นและที่ลึก โดยพบว่าในที่ตื้นในเดือนกรกฎาคม 2538 และเดือนกรกฎาคม 2539 มีค่า 97.73 ± 1.71 และ 98.34 ± 1.19 ตามลำดับซึ่งจะมีค่าเพิ่มขึ้นในช่วงเวลาที่สอง ส่วนค่าสัมประสิทธิ์ความแปรปรวนมีค่าลดลง ในสถานี A ในที่ลึกพบว่ามีค่าเพิ่มขึ้นเพียงเล็กน้อยในเดือนกรกฎาคมและเดือนกรกฎาคม

ตารางที่ 3.2 ผลการทดสอบความแปรปรวนของปัจจัยเป็น ปัจจัยต่างๆ พื้นทราย และสิ่งมีชีวิตชนิดอื่น ๆ ต่อจำนวนช้ำ สถานี ความลึก เวลา

| รูปแบบ | result form ANOVA tests. | | | | | | | | | | |
|-----------------------|--------------------------|---------|-------|------|--------------|------------|-----------|---------------|--------------|---------------|-----------|
| | Time | Station | Depth | Rep. | Time*Station | Time*Depth | Time*Rep. | Station*Depth | Station*Rep. | Depth*Station | Depth*Rep |
| ปัจจัยเป็น | | * | * | | | | | | | | |
| ปัจจัยต่างๆ | * | * | | | | | | | | | |
| พื้นทราย | | * | * | | | | | | | | |
| สิ่งมีชีวิตชนิดอื่น ๆ | | * | | | | | | | | | * |

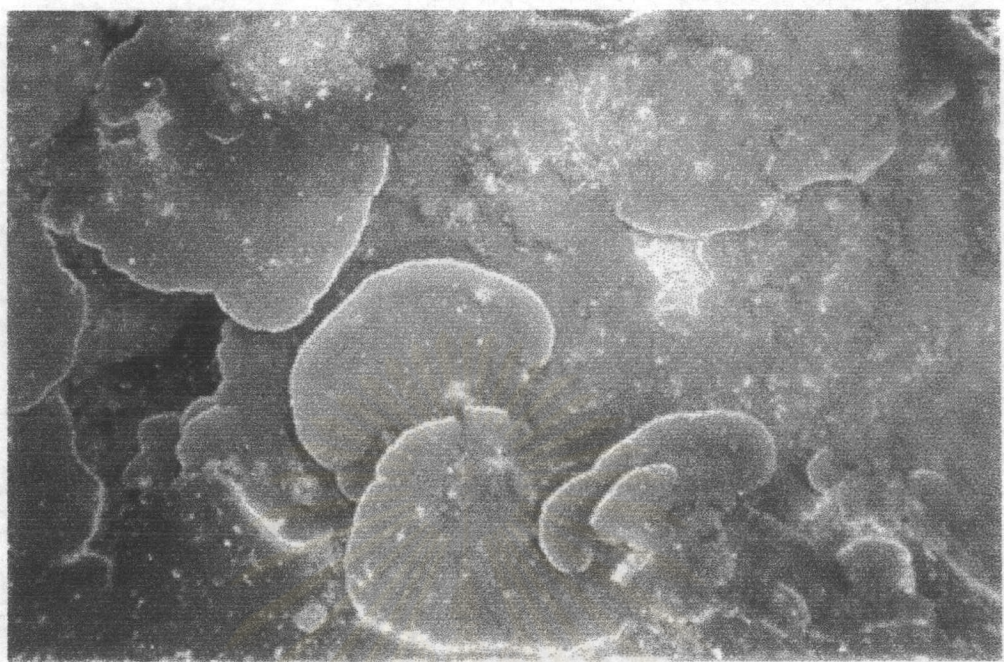
* มีนัยสำคัญทางสถิติที่ค่า $p \leq 0.05$



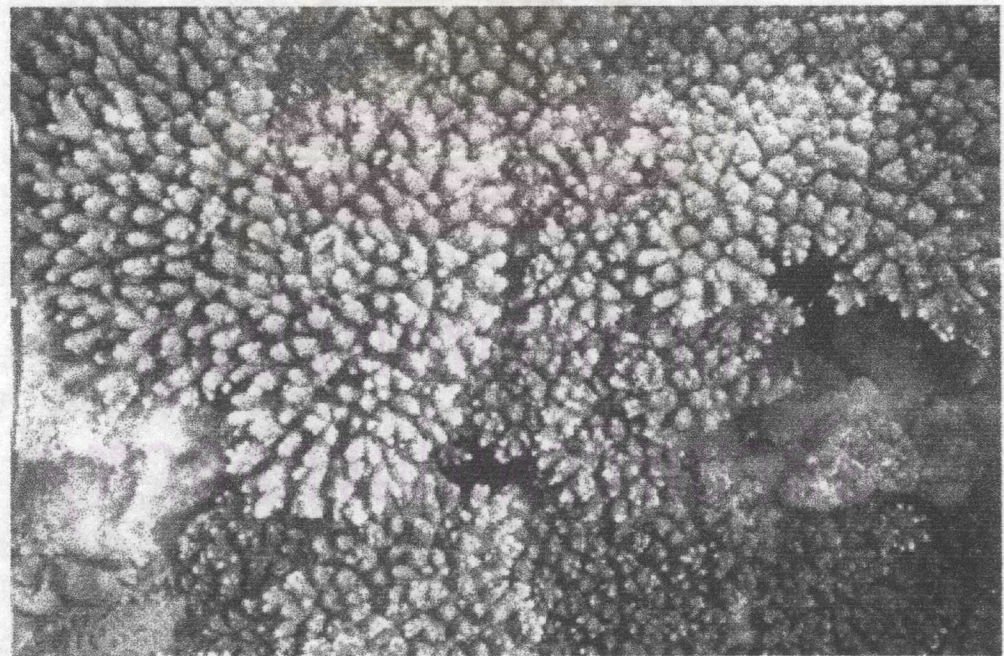
รูปที่ 3.4 ปะการังแบบก้อน (*Porites* spp.)



รูปที่ 3.5 แสดงปะการังแบบช่อ (*Pocillopora* spp.)



รูปที่ 3.6 ปะการังแบบแผ่น (*Montipora* sp.)



รูปที่ 3.7 ปะการังแบบโถะ (*Acropora* spp.)

2539 โดยมีค่า 99.26 ± 0.50 และ 99.33 ± 7.43 ตามลำดับ ส่วนค่าสัมประสิทธิ์ความแปรปรวนมีค่าลดลง

จากการรังแบบช่องพบว่ามีเปอร์เซ็นต์ครอบคลุมพื้นที่น้อยทั้งในที่ดินและที่ลึก ในบริเวณที่ดินเดือนกรกฎาคม 2538 และกรกฎาคม 2539 พบว่ามีค่า 1.96 ± 1.53 และ 1.19 ± 0.08 ตามลำดับ โดยมีค่าลดลง ส่วนค่าสัมประสิทธิ์ความแปรปรวนมีค่าลดลงเช่นกัน ในบริเวณที่ลึกพบว่ามีค่าลดลงจากในที่ดินโดยในเดือนกรกฎาคม 2538 และเดือนกรกฎาคม 2539 มีค่า 0.64 ± 0.59 และ 0.41 ± 0.48 ตามลำดับ ส่วนค่าสัมประสิทธิ์ความแปรปรวนมีค่าเพิ่มขึ้น

จากการรังแบบแผ่นพบว่ามีเปอร์เซ็นต์ครอบคลุมพื้นที่น้อยทั้งในที่ดินและที่ลึกเช่นกัน ในบริเวณที่ดินเดือนกรกฎาคม 2535 และกรกฎาคม 2539 มีค่า 0.31 ± 0.18 และ 0.47 ± 0.45 ตามลำดับ ส่วนค่าสัมประสิทธิ์ความแปรปรวนมีค่าเพิ่มขึ้น ในบริเวณที่ลึกพบว่ามีค่าลดลงมีค่า 0.12 ± 1.18 และ 0.26 ± 0.20 ตามลำดับ ส่วนค่าสัมประสิทธิ์ความแปรปรวนมีค่าลดลง

จากการรังแบบโถะไม่พบในสถานีนี้ทั้งในที่ลึกและในที่ดินทั้งสองช่วงเวลา

สถานี C

พบว่าจากการรังแบบก้อนมีเปอร์เซ็นต์ครอบคลุมพื้นที่มากที่สุดทั้งในที่ดินและที่ลึก โดยในที่ดินในเดือนกรกฎาคม 2538 และกรกฎาคม 2539 มีค่า 95.83 ± 3.42 และ 97.78 ± 2.16 ตามลำดับ ส่วนค่าสัมประสิทธิ์ความแปรปรวนมีค่าเพิ่มขึ้น ในบริเวณที่ลึกมีค่า 97.24 ± 0.46 และ 97.31 ± 0.63 ตามลำดับซึ่งมีค่าเพิ่มขึ้นเพียงเล็กน้อย ส่วนค่าสัมประสิทธิ์ความแปรปรวนมีค่าเพิ่มขึ้นเล็กน้อย

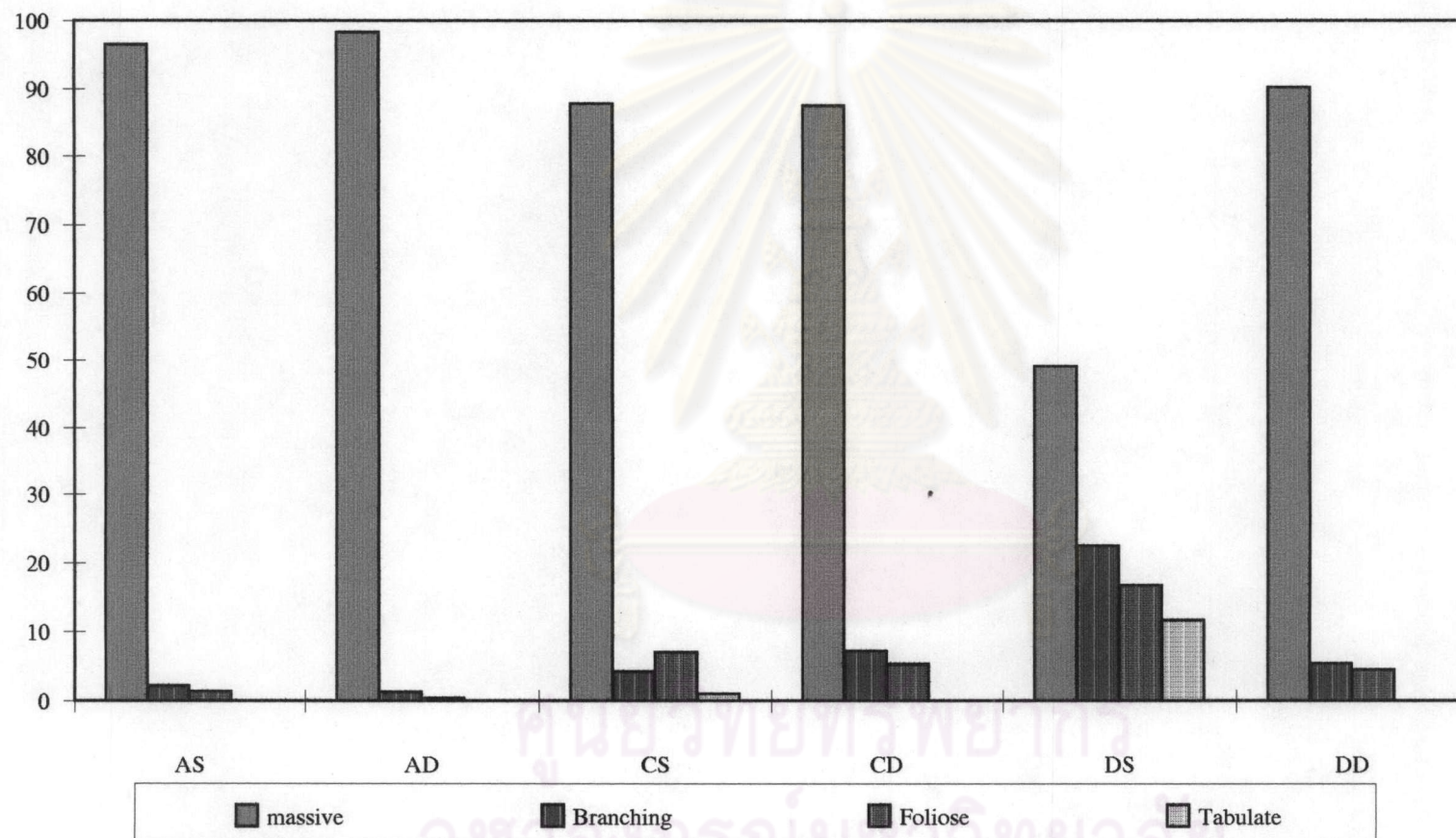
จากการรังแบบช่องพบว่ามีเปอร์เซ็นต์ครอบคลุมพื้นที่น้อยทั้งในที่ดินและที่ลึกเช่นกันในสถานี A โดยในที่ดินในเดือนกรกฎาคม 2538 และกรกฎาคม 2539 มีค่า 1.15 ± 0.48 และ 0.67 ± 0.28 ค่าส่วนค่าสัมประสิทธิ์ความแปรปรวนมีค่าเพิ่มขึ้นเล็กน้อย ส่วนในบริเวณที่ลึกมีค่าทั้งสองเวลาเท่ากัน 1.29 ± 1.50 และ 0.63 ± 0.40 ตามลำดับ ค่าสัมประสิทธิ์ความแปรปรวนมีค่าลดลง

จากการรังแบบแผ่นพบว่ามีเปอร์เซ็นต์ครอบคลุมพื้นที่น้อยเช่นกันทั้งในที่ดินและในที่ลึก ในบริเวณที่ดินในเดือนกรกฎาคม 2538 และกรกฎาคม 2539 พบว่ามีค่า 2.99 ± 1.60 และ 0.39 ± 0.55 ตามลำดับ โดยพบว่ามีค่าลดลงในเดือนกรกฎาคม 2539 ค่าสัมประสิทธิ์ความแปรปรวนพบว่ามีค่าลดลงเพียงเล็กน้อย ส่วนในบริเวณที่ลึกพบว่าในเดือนกรกฎาคม 2538 มีค่าลดลงน้อยกว่าในที่ดิน ส่วนในเดือนกรกฎาคม 2539 พบว่ามีค่าเพิ่มขึ้นโดยมีค่า 1.45 ± 1.16 และ 2.05 ± 0.30 ดังแสดงในตารางที่ 3.3 กราฟรูปที่ 3.8 และกราฟรูปที่ 3.9

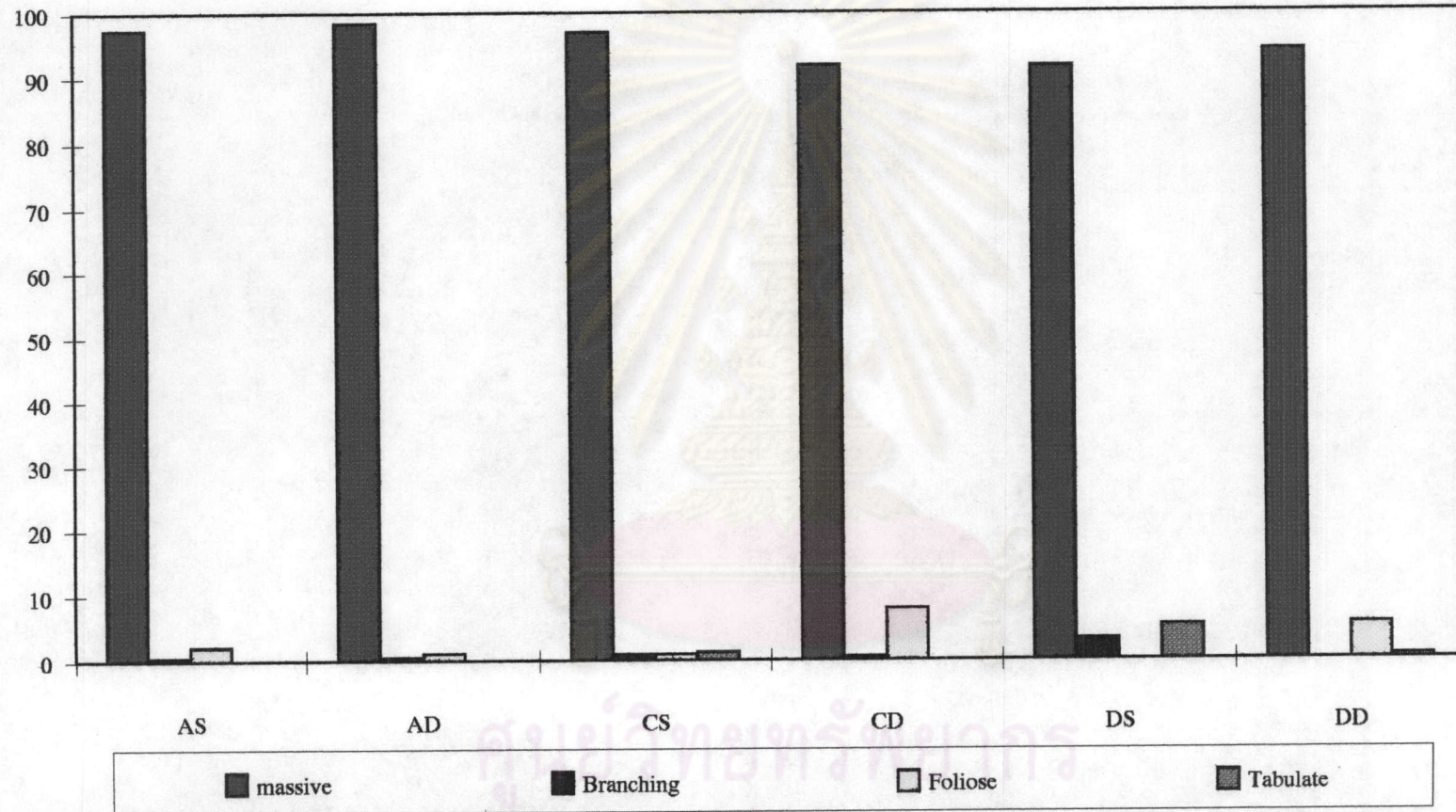
ตารางที่ 3.3 เปอร์เซ็นต์ (Mean±S.D.) ครอบคลุมของปะการังในรูปแบบต่าง ๆ ในสถานี A, C และ D เดือนกรกฎาคม 2538 ถึงกรกฎาคม 2539 และค่าสัมประสิทธิ์ความแปรปรวน (C.V.)

| สถานี | ปะการังก้อน | | ปะการังช่อ | | ปะการังแผ่น | | ปะการังโต๊ะ | |
|-------|-----------------------|------------------------|----------------------|----------------------|----------------------|----------------------|------------------------|------------------------|
| | ก.ค. 2538 | ก.ค. 2539 | ก.ค. 2538 | ก.ค. 2539 | ก.ค. 2538 | ก.ค. 2539 | ก.ค. 2538 | ก.ค. 2539 |
| AS | 97.73±1.71 (0.017) | 98.34±1.19 (0.012) | 1.96±1.53 (0.782) | 1.19±0.08 (0.645) | 0.31±0.18 (0.562) | 0.47±0.45 (0.953) | 0 | 0 |
| AD | 99.26±0.50 (0.005) | 99.33±7.43 (0.318) | 0.64±0.59 (0.928) | 0.41±0.48 (1.173) | 0.12±1.18 (1.178) | 0.26±0.20 (0.774) | 0 | 0 |
| CS | 95.83±3.42 (0.036) | 97.78±2.16 (0.022) | 1.15±0.48 (0.420) | 0.67±0.28 (0.416) | 2.99±1.60 (1.447) | 0.39±0.55 (1.419) | 1.15±0.05 (1.800) | 1.17±2.02 (1.726) |
| CD | 97.24±0.46 (0.005) | 97.31±0.63 (0.006) | 1.29±1.50 (1.169) | 0.63±0.40 (0.632) | 1.45±1.16 (0.803) | 2.05±0.30 (0.147) | 0 | 0 |
| DS | 62.49±0.65 (0.636) | 79.28±24.13 (0.304) | 8.17±4.52 (0.553) | 2.45±2.41 (2.407) | 0 | 0 | 29.36±35.45 (1.208) | 18.27±26.05 (1.426) |
| DD | 96.32±2.41 (0.025) | 97.46±0.90 (0.009) | 3.19±2.18 (0.681) | 1.36±0.56 (0.407) | 0.49±0.29 (0.233) | 0.68±0.70 (1.025) | 0 | 0.50±0.43 (0.864) |

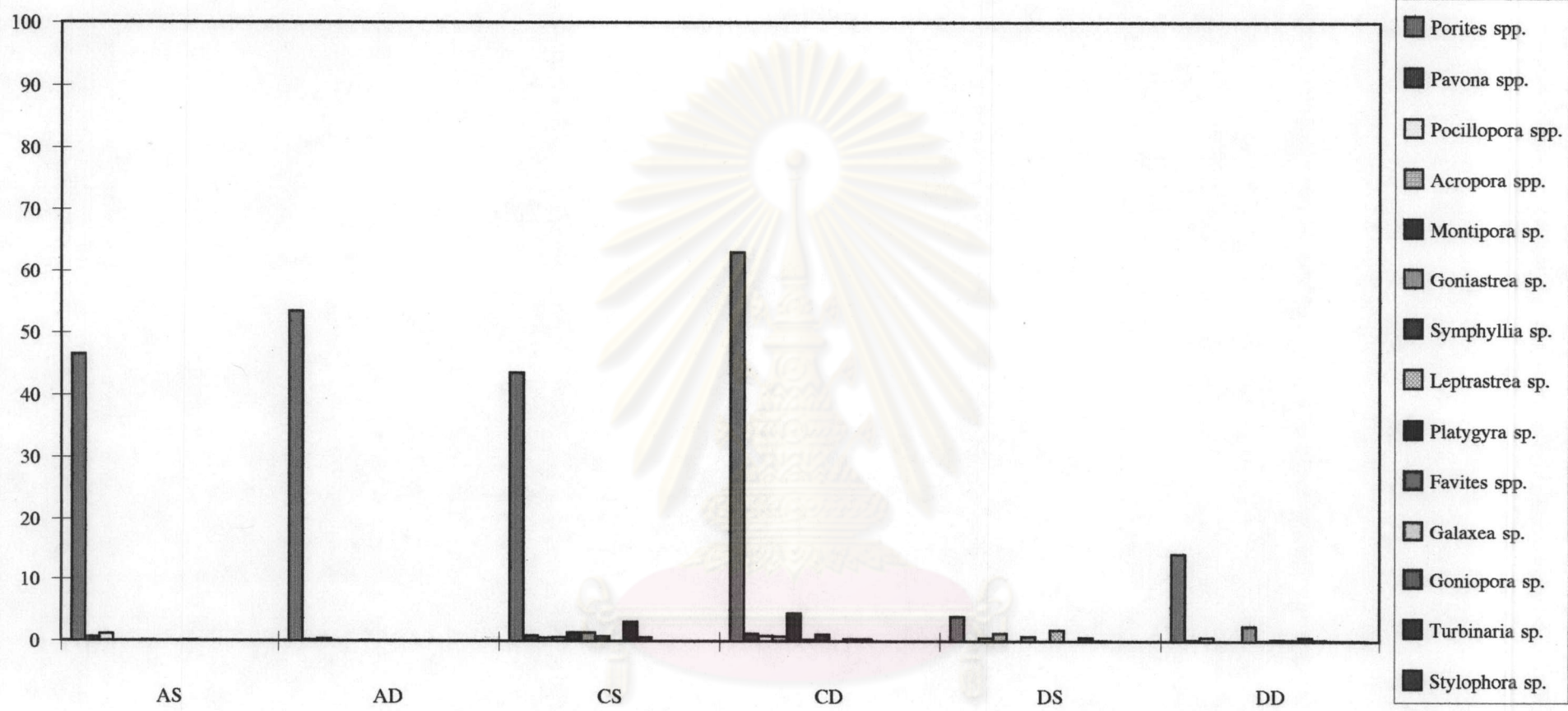
หมายเหตุ : AS สถานี A ในที่ดิน, AD สถานี A ในที่ลึก, CS สถานี C ในที่ดิน, CD สถานี C ในที่ลึก, DS สถานี D ในที่ดิน, DD สถานี D ในที่ลึก



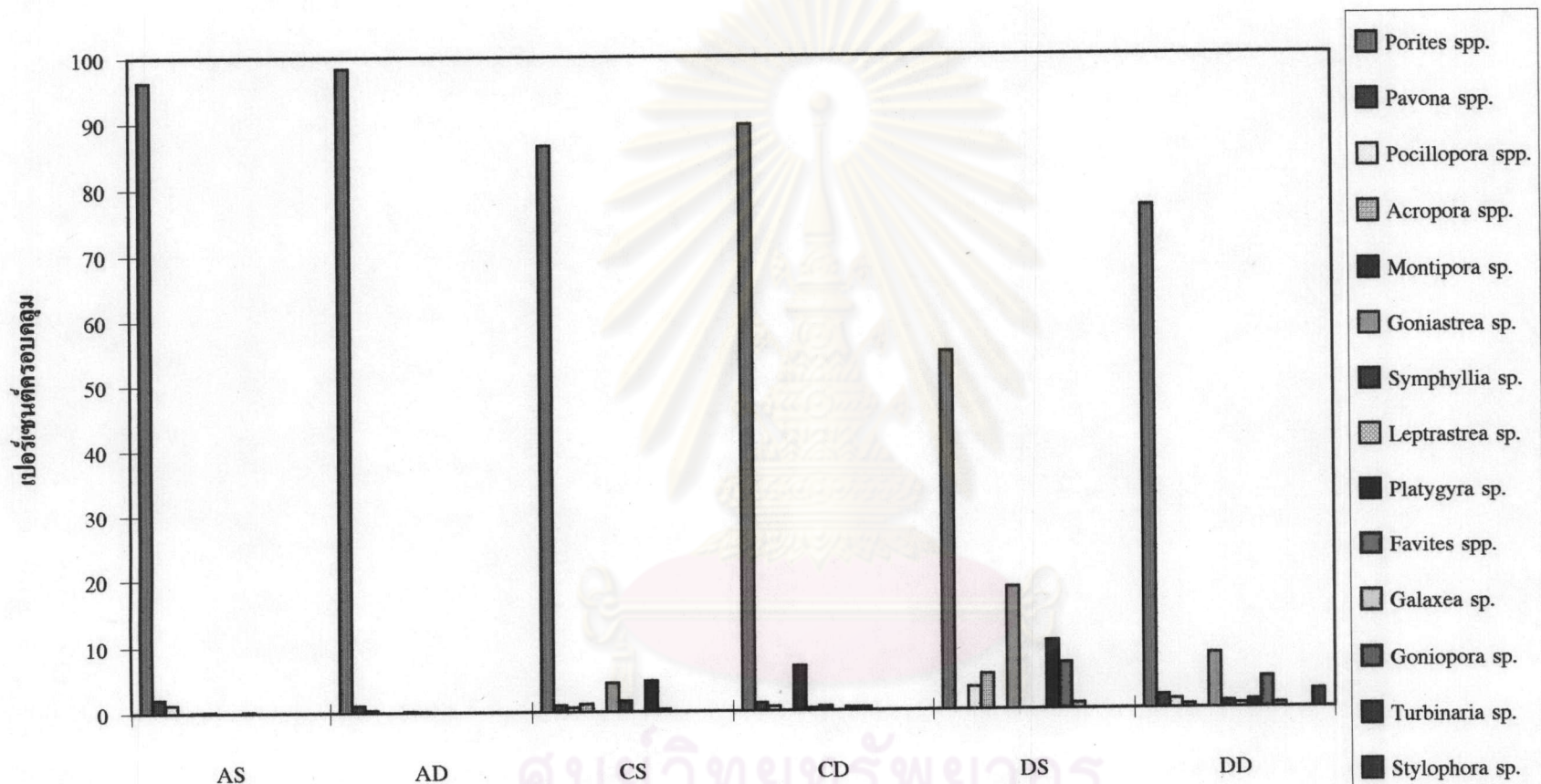
รูปที่ 3.8 แสดงเปอร์เซ็นต์ครอบคลุมของປະກາຮັງໃນຮູບແບບຕ່າງໆ ໃນສະຖານີ A, C ແລະ D ເດືອນກົງກວາມ 2538



รูปที่ 3.9 แสดงเปอร์เซ็นต์ครอบคลุมของปะการังในรูปแบบต่าง ๆ ในสถานี A, C และ D เดือนกรกฎาคม 2539



รูปที่ 3.10 เปอร์เซ็นต์ครอบคลุมพื้นที่ของปะการังมีชีวิตชนิดต่าง ๆ A, C และ D เดือนกรกฎาคม 2538



รูปที่ 3.11 เปอร์เซ็นต์ครอบคลุมพื้นที่ของปะการังมีชีวิตชนิดต่าง ๆ สถานี A, C และ D เดือนกรกฎาคม 2539

3.3.4 ความแปรปรวนของปะการังที่ครอบคลุมพื้นที่ระหว่างในประการังในรูปแบบก้อนแบบช่อ แบบแผ่น และแบบโถ ดังแสดงในตารางที่ 3.4

ในกลุ่มของประการังแบบก้อน พบร้าสถานีและความลึกมีผลต่อเม็ดสีของปะการังที่ครอบคลุมพื้นที่ ในประการังแบบแผ่นพบร้าสถานี ความลึก จำนวนช้ำ สถานีกับความลึก และสถานีกับจำนวนช้ำ มีผลต่อปะการังที่ครอบคลุมพื้นที่ ส่วนในประการังแบบช่อและแบบโถพบร้าไม่มีผลของปัจจัยต่าง ๆ ต่อเม็ดสีของปะการังที่ครอบคลุมพื้นที่

3.3.5 องค์ประกอบของประการังแยกตามสกุล

จากการศึกษาครั้งนี้พบประการังทั้งหมดจำนวน 14 ชนิด ได้แก่ *Porites* sp., *Pavona* sp., *Pocillopora* spp., *Acropora* sp., *Montipora* sp., *Goniastrea* sp., *Sympyllia* spp., *Leptastrea* sp., *Platygyra* sp., *Favites* sp., *Galaxea* sp., *Goniopora* sp., *Turbinaria* sp., *Stylophora* sp. โดยมี *Porites* spp. เป็นกลุ่มเด่น ซึ่งพบในทุก ๆ สถานีที่ทำการศึกษา โดยในแต่ละดังแสดงในตารางที่ 3.5 และรูปที่ 3.10 และ 3.11

3.3.6 ความแปรปรวนของปะการังที่ครอบคลุมพื้นที่ระหว่างประการังสกุลต่าง ๆ

จากการวิเคราะห์ความแปรปรวนของประการังมีชีวิตในแต่ละสกุลในแต่ละช้ำ (replicate) ความลึก (depth) สถานี (station) และเวลา (time) ดังแสดงในตารางที่ 3.6 พบร้ากลุ่มที่เป็นชนิดเด่นคือ *Porites* spp. มีปะการังที่ครอบคลุมพื้นที่แตกต่างอย่างมีนัยสำคัญในแต่ละความลึก และในแต่ละสถานี แต่ปัจจัยอื่น ๆ ไม่มีผลต่อปะการังที่ครอบคลุมพื้นที่

- *Acropora* spp. พบร้าสถานานมีผลต่อปะการังที่ครอบคลุมพื้นที่ ส่วนความลึกและเวลา ไม่มีผลต่อปะการังที่ครอบคลุมพื้นที่

- *Montipora* sp. พบร้าปัจจัยของความลึก สถานานมีผลต่อปะการังที่ครอบคลุมพื้นที่ และ เมื่อพิจารณาระหว่างเวลาสถานี สถานีกับความลึก และความลึกกับจำนวนช้ำ พบร้ามีผลต่อปะการังที่ครอบคลุมพื้นที่

- *Sympyllia* spp. พบร้าปัจจัยของสถานานมีผลต่อปะการังที่ครอบคลุมพื้นที่ ส่วน ปัจจัยอื่น ๆ ไม่มีผลต่อปะการังที่ครอบคลุมพื้นที่

- *Leptastrea* sp. พบร้าปัจจัยของสถานี ความลึก มีผลต่อปะการังที่ครอบคลุมพื้นที่

- *Platygyra* sp. พบร้าสถานี ความลึก และระหว่างสถานีกับความลึกมีผลต่อปะการังที่ การครอบคลุมพื้นที่ โดยพบร้าในบางสถานีหรือบางความลึกมีการเปลี่ยนแปลงไม่เป็นไปในทิศทางเดียวกัน

ตารางที่ 3.4 ผลการทดสอบความแปรปรวนของแต่ละประการังแต่ละในรูปแบบ ประการังแบบก่อน ประการังแบบช่อ ประการัง

แบบแผ่น และประการังแบบโถะ ต่อจำนวนช้ำ สถานี ความลึก เวลา

| รูปแบบ | result form ANOVA tests. | | | | | | | | | | |
|-----------------|--------------------------|---------|-------|------|--------------|------------|-----------|---------------|--------------|---------------|-----------|
| | Time | Station | Depth | Rep. | Time*Station | Time*Depth | Time*Rep. | Station*Depth | Station*Rep. | Depth*Station | Depth*Rep |
| ประการังแบบก่อน | * | * | | | | | | | | | |
| ประการังแบบช่อ | | | | | | | | | | | |
| ประการังแบบแผ่น | * | * | * | | | | | * | * | | |
| ประการังแบบโถะ | | | | | | | | | | | |

* แตกต่างกันอย่างมีนัยสำคัญที่ค่า $p \leq 0.05$

ศูนย์วิทยทรัพยากร
จุฬาลงกรณ์มหาวิทยาลัย

ตารางที่ 3.5 จำนวนชนิดของปะการังและสิ่งมีชีวิตที่พบในแต่ละสถานี เดือนกรกฎาคม 2538 และเดือนกรกฎาคม 2539

| Station | A | | | | C | | | | D | | | |
|------------------------|------|------|------|------|------|------|-------|------|------|------|-------|-------|
| | AS | | AD | | CS | | CD | | DS | | DD | |
| Genus | 2538 | 2539 | 2538 | 2539 | 2538 | 2539 | 2538 | 2539 | 2538 | 2539 | 2538 | 2539 |
| <i>Porites</i> sp. | + | + | + | + | + | + | + | + | + | + | + | + |
| <i>Pavona</i> sp. | + | + | + | + | + | + | + | + | + | + | + | + |
| <i>Pocillopora</i> sp. | + | + | + | + | + | + | + | + | + | + | + | + |
| <i>Acropora</i> sp. | | | | + | + | + | + | + | + | + | | |
| <i>Montipora</i> sp. | + | + | + | | + | + | + | | | | + | + |
| <i>Goniastrea</i> sp. | + | + | + | + | + | + | + | + | + | + | + | + |
| <i>Sympyllia</i> sp. | | | | + | + | + | + | + | | | + | + |
| <i>Lepastraea</i> sp. | | | | | | | + | + | + | + | + | + |
| <i>Platygyra</i> sp. | + | + | | | + | + | + | + | + | + | + | + |
| <i>Favites</i> sp. | + | + | | | + | + | + | + | + | + | + | + |
| <i>Galaxea</i> sp. | | | | | | | | | | | | |
| <i>Goniopora</i> sp. | | | | | | | | | | | + | + |
| <i>Turbinaria</i> sp. | | | | | | | | | | | + | + |
| <i>Stylophora</i> sp. | | | | | | | | | | + | + | |
| รวม | 7/14 | 7/14 | 6/14 | 6/14 | 9/14 | 9/14 | 10/14 | 9/14 | 7/14 | 9/14 | 12/14 | 11/14 |
| หมายเหตุ + = ชนิดที่พบ | | | | | | | | | | | | |

ตารางที่ 3.6 เปอร์เซ็นต์ครอบคลุมของปะการังมีชีวิตและสิ่งมีชีวิตชนิดอื่น ๆ รวมทั้งผลที่ได้จากการทดสอบความแปรปรวนของแต่ละวงศ์ (Genus) กับ ช้า ความถี่ สถานี ระยะเวลา

| Genus | result form ANOVA tests. | | | | | | | | | | | |
|-------------------------|--------------------------|---------|-------|------|--------------|------------|-----------|---------------|--------------|---------------|------------|-------------------------|
| | Time | Station | Depth | Rep. | Time*Station | Time*Depth | Time*Rep. | Station*Depth | Station*Rep. | Depth*Station | Depth*Rep. | Time*Station*Depth*Rep. |
| <i>Porites</i> spp. | * | * | | | | | | | | | | |
| <i>Pavona</i> spp. | | | | | | | | | | | | |
| <i>Pocillopora</i> spp. | | | | | | | | | | | | |
| <i>Acropora</i> spp. | * | | | | | | | | | | | |
| <i>Montipora</i> sp. | * | * | | | * | | | | | * | | * |
| <i>Goniastrea</i> spp. | * | | | | | | | | | | | |
| <i>Sympyllia</i> sp. | * | | | | | | | | | | | |
| <i>Lepastraea</i> sp. | * | * | | | | | | | * | | | |
| <i>Platygyra</i> sp. | * | | | | * | | | | | | | |
| <i>Favites</i> sp. | | | | | | | | | | | | |
| <i>Galaxea</i> sp. | | | | | | | | | | | | |
| <i>Goniopora</i> sp. | | | | | | | | | | | | |
| <i>Turbinaria</i> sp. | | | | | | | | | | | | |
| <i>Stylophora</i> sp. | | | | | | | | | | | | |
| <i>Palythoa</i> | * | | | | | | | | | | | |
| soft coral | | | | | | | | | | | | |
| <i>Ragastis</i> sp. | | | | | | | | | | | | |
| boring bivalve | | | | | | | | | | | | |
| bivalve | * | * | | | | | | | | | | |
| <i>Saccostrea</i> sp. | * | | | | | | | | | * | | |
| Banacle | | | | | | | | | | | | |
| Pink spot | * | * | * | * | * | * | * | * | * | * | | |

* มีนัยสำคัญทางสถิติที่ค่า $p \leq 0.05$

- *Favites* sp. พบร่วมกับน้ำแข็งและจำนวนน้ำแข็งมีผลต่อการครอบคลุมพื้นที่
- *Pocillopora* spp., *Pavona* spp., *Galaxea* sp., *Goniopora* sp., *Tubinaria* sp., *Stylophora* sp. พบร่วมกับน้ำแข็งและจำนวนน้ำแข็งมีผลต่อการครอบคลุมพื้นที่
- ส่วนในกลุ่มของสิ่งมีชีวิตชนิดอื่น ๆ ซึ่งได้แก่ *Palythoa* กลุ่มของหอยสองฝ่า กลุ่มของหอยนางรม และกลุ่มของจุดสีชมพูที่เป็นลักษณะผิดไปจากประการปกติ พบร่วมกับน้ำแข็งและจำนวนน้ำแข็งมีผลต่อการครอบคลุมพื้นที่

3.4 คุณภาพแวดล้อมของบริเวณที่ศึกษา

3.4.1 อัตราการตกตะกอน

จากการศึกษาอัตราการตกตะกอนในสถานี A C และ D พบร่วมกับน้ำแข็งและจำนวนน้ำแข็งในช่วงเดือนกรกฎาคมซึ่งเป็นช่วงต้นฤดูฝน โดยในสถานี C มีค่าสูงสุดในช่วงเดือนสิงหาคม โดยมีค่าเท่ากับ 110.60 ± 16.07 และมีค่าแตกต่างกันในแต่ละสถานีดังแสดงในรูปที่ 3.12

3.4.2 คุณภาพน้ำ

จากการศึกษาคุณภาพน้ำ บริเวณเกาะค้างคาวในช่วงระยะเวลาที่ทำการศึกษา เดือนกรกฎาคม 2538 ถึงกรกฎาคม 2539 ได้ผลการศึกษาดังนี้

3.4.3 อุณหภูมิ

อุณหภูมิของน้ำทะเล บริเวณเกาะค้างคาวในบริเวณที่สถานี A, C และ D ในช่วงเดือนกรกฎาคม 2538 ถึงกรกฎาคม 2539 พบร่วมกับอุณหภูมิแต่ละความลึกและสถานี มีค่าอยู่ในเกณฑ์ที่ค่อนข้างคงที่ดังนี้ สถานี A ในบริเวณที่ลึก พบร่วมกับอุณหภูมิในแต่ละแห่ง ใกล้เคียงกันโดยแต่ละสถานานมีค่าเฉลี่ยตลอดทั้งปีเท่ากับ $28.00 \pm 2.78^{\circ}\text{C}$ ส่วนสถานี A ในที่ลึกมีค่าเฉลี่ยเท่ากับ $29.17 \pm 2.82^{\circ}\text{C}$ สถานี C ในบริเวณที่ด้านหน้า มีค่าเฉลี่ยเท่ากับ $29.30 \pm 2.20^{\circ}\text{C}$ ส่วนสถานี C ในบริเวณที่ลึกมีค่าเฉลี่ยเท่ากับ $29.35 \pm 2.43^{\circ}\text{C}$ ส่วนในสถานี D ได้ค่าเฉลี่ยเท่ากับ $29.22 \pm 2.64^{\circ}\text{C}$ พบร่วมกับอุณหภูมน้ำที่ไม่แตกต่างกันในแต่ละสถานีและระหว่างเดือน ดังรูปที่ 3.13

3.1.4 ความเค็ม

น้ำทะเลในบริเวณเกาะค้างคาวในสถานี A C และ D ในเดือนกรกฎาคม 2538 ถึงกรกฎาคม 2539 มีความเค็มของน้ำในช่วง 1 ปี โดยในสถานี A ในบริเวณที่ด้านหน้า มีความเค็มค่าเท่ากับ $28.36 \pm 2.78 \text{ ppt}$. ส่วนสถานี A ในบริเวณที่ลึก มีความเค็มเท่ากับ $29.17 \pm 2.82 \text{ ppt}$. สถานี C

ในบริเวณที่ดีน มีค่าความเค็มเท่ากับ 29.30 ± 2.20 ppt. สถานี C ในบริเวณที่ลึก มีค่าความเค็มเท่ากับ 29.35 ± 2.43 ppt. สถานี D ในบริเวณที่ดีน มีค่าความเค็มเท่ากับ 29.22 ± 2.64 ppt. สถานี D ในบริเวณที่ลึก มีค่าความเค็มเท่ากับ 25.09 ± 3.00 ppt. พบว่าน้ำทะเลมีค่าความเค็มต่ำสุดในเดือนมีนาคม 2539 ตามรูปที่ 3.14

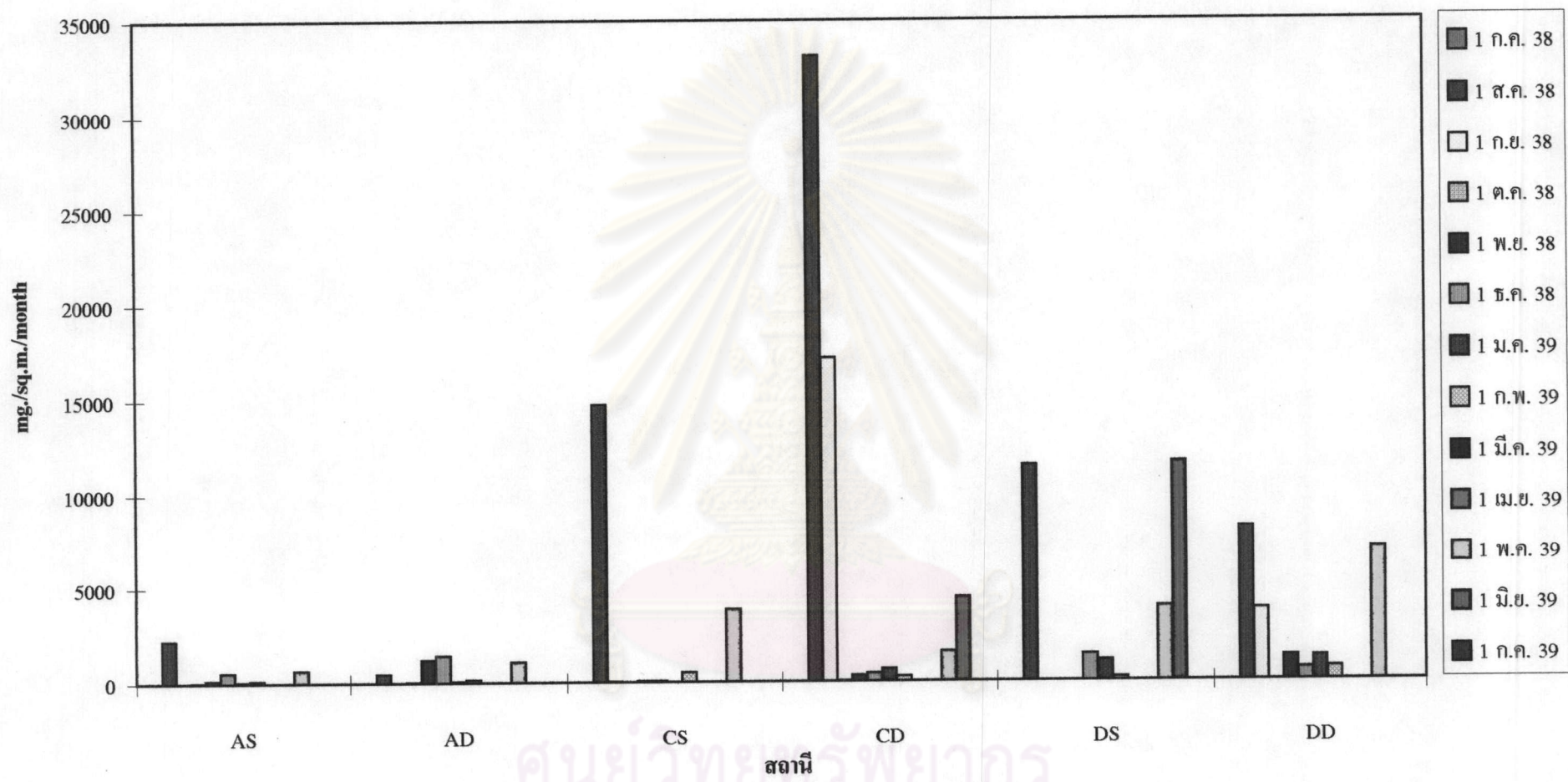
3.6.5 ปริมาณออกซิเจนที่ละลายในน้ำ

ปริมาณออกซิเจนที่ละลายในน้ำมีค่าเฉลี่ยในช่วง 1 ปี ที่สถานี A ในบริเวณที่ดีนเท่ากับ 4.57 ± 1.67 mg/L. สถานี A ในบริเวณที่ลึกเท่ากับ 4.37 ± 2.00 mg/L. สถานี C ในบริเวณน้ำดีนเท่ากับ 4.19 ± 1.89 mg/L. สถานี C ในบริเวณที่ลึกเท่ากับ 4.80 ± 1.71 mg/L. สถานี D ในบริเวณที่ดีนเท่ากับ 4.85 ± 1.78 mg/L. สถานี C ในบริเวณที่ลึกเท่ากับ 4.43 ± 1.69 mg/L. มีค่าต่ำสุดในเดือนมีนาคม 2539 โดยค่าเฉลี่ยในแต่ละสถานีและระดับความลึกมีค่าใกล้เคียงกัน ค่าดังรูปที่ 3.15

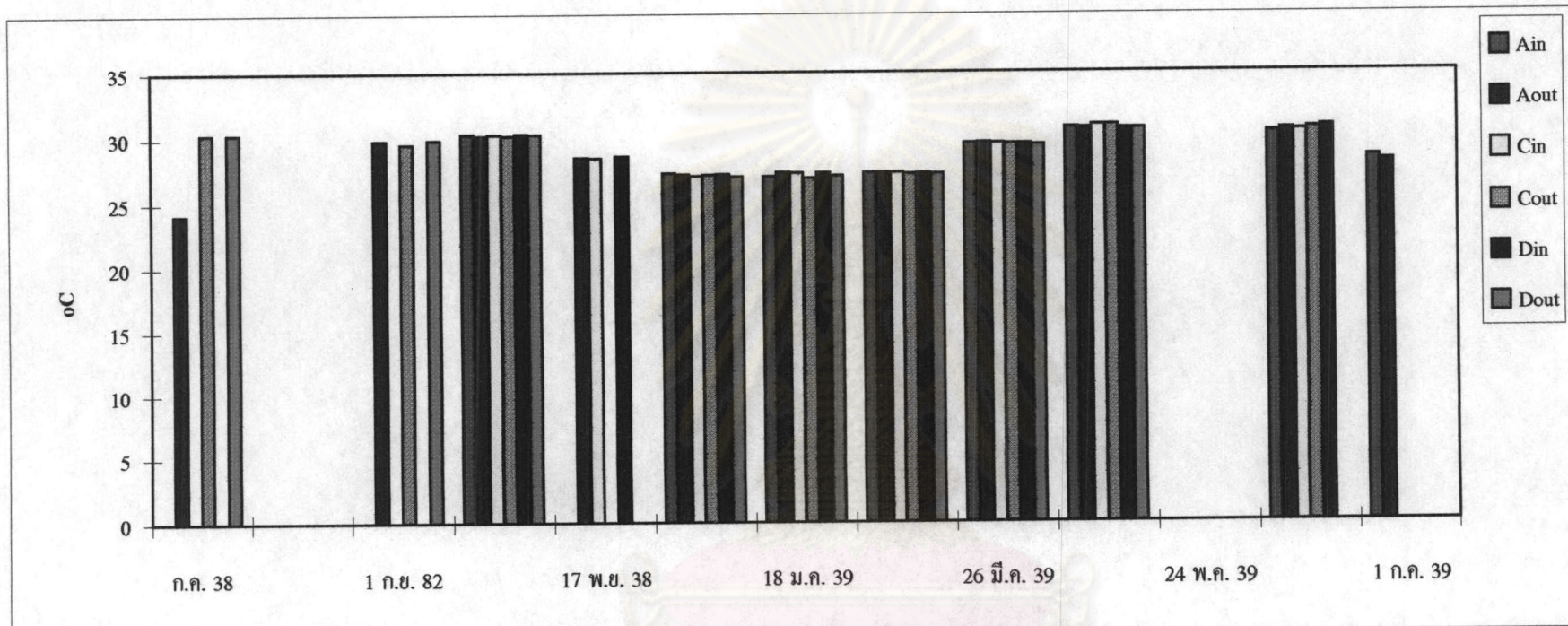
3.4.6 ค่าความเป็นกรดค่างของน้ำ

ในบริเวณเกาะค้างคา ในช่วงเดือนกรกฎาคม 2539 ในสถานี A, C และ D มีค่าเฉลี่ยของ pH ดังนี้ $7.81 \pm 0.64, 8.03 \pm 0.60, 7.71 \pm 0.82, 7.86 \pm 0.63, 8.08 \pm 0.63$ ตามลำดับ ซึ่งพบว่าค่า pH ในแต่ละสถานีในช่วงเวลาเดียวกันจะมีค่าใกล้เคียงกัน ไม่แตกต่างกันมากนัก ส่วนค่าเฉลี่ยแต่ละเดือนพบว่ามีค่าที่ใกล้เคียงกัน ดังแสดงในรูปที่ 3.16

ศูนย์วิทยทรัพยากร
จุฬาลงกรณ์มหาวิทยาลัย

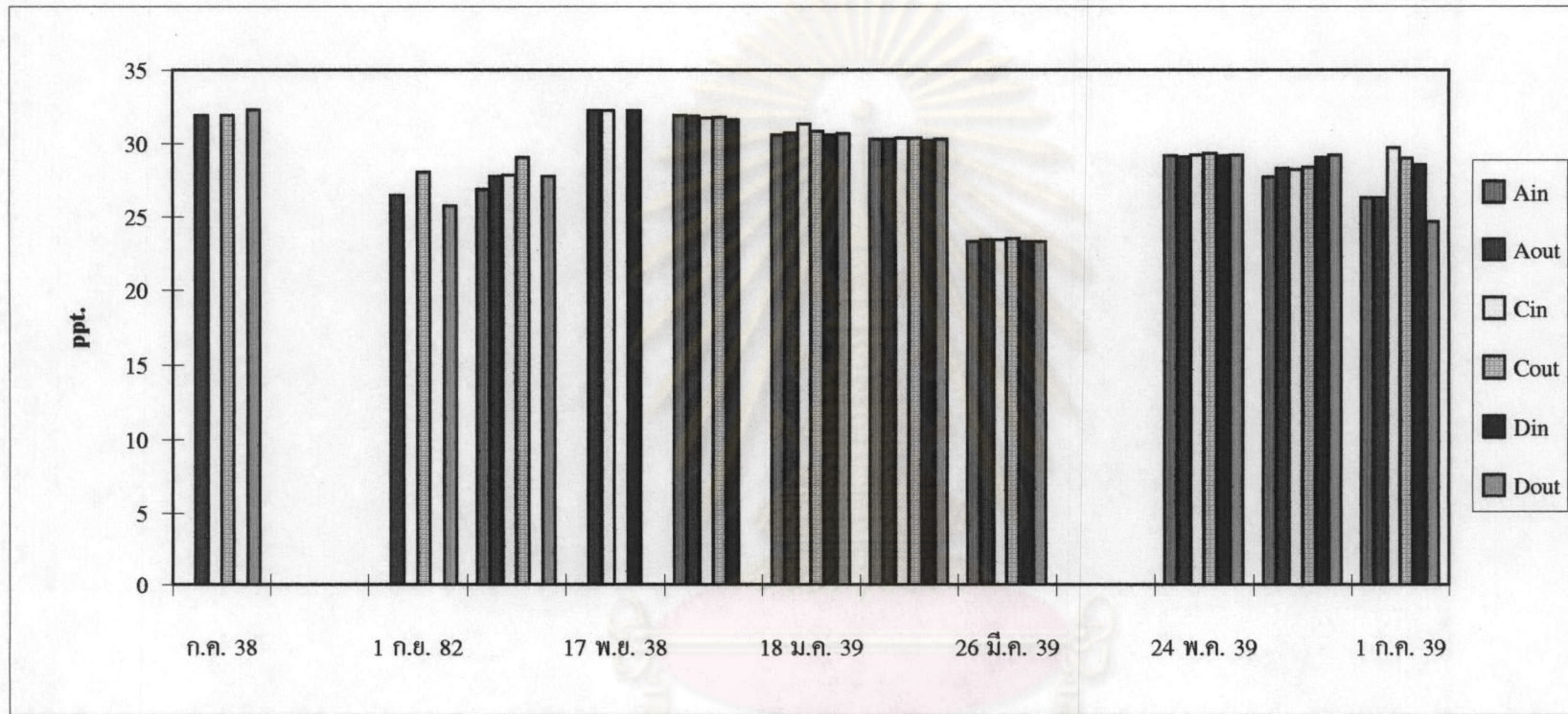


รูปที่ 3.12 อัตราการตกตะกอนบริเวณเกาะค้างคาในสถานี A, C และ D ระหว่างเดือนกรกฎาคม 2538- กรกฎาคม 2539 (gm/sq.m./month)



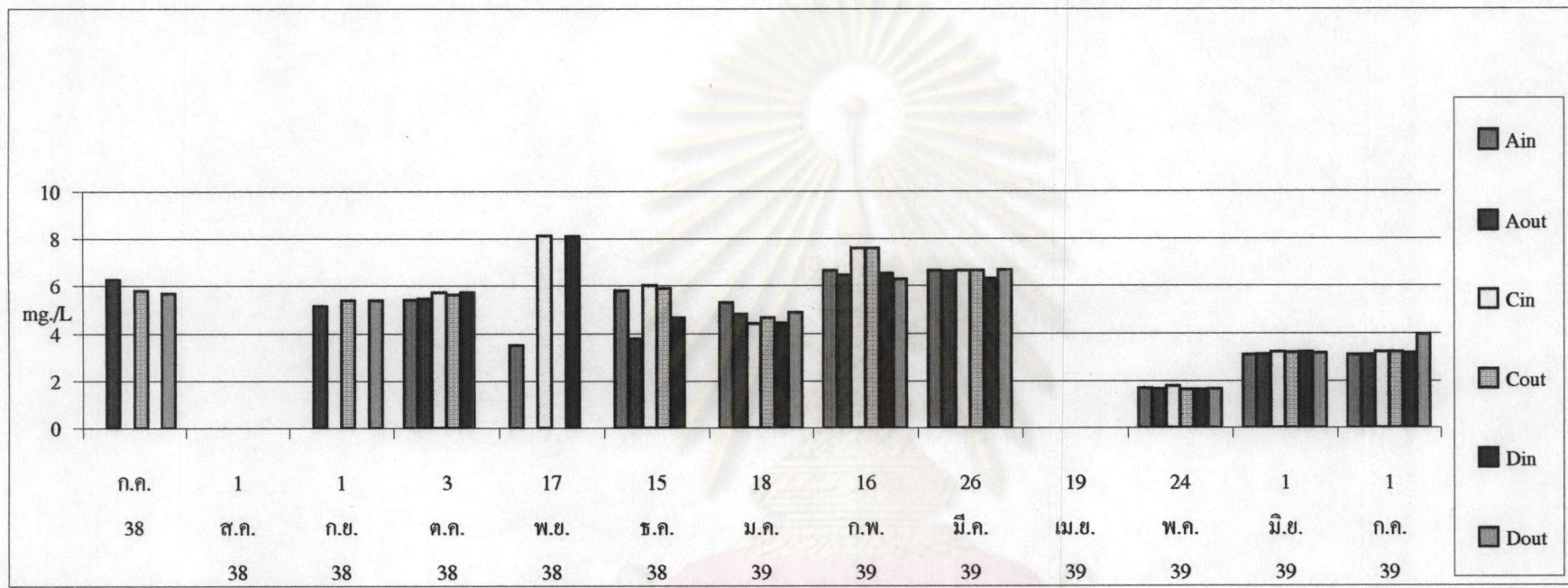
รูปที่ 3.13 ค่าเฉลี่ยอุณหภูมิของสถานี A C และ D รอบเก้าวันก่อนวันเดือนกรกฎาคม 2538 - กรกฎาคม 2539

ศูนย์วิทยวิเคราะห์
อุปสงค์และแนวโน้มทางวิทยาศาสตร์



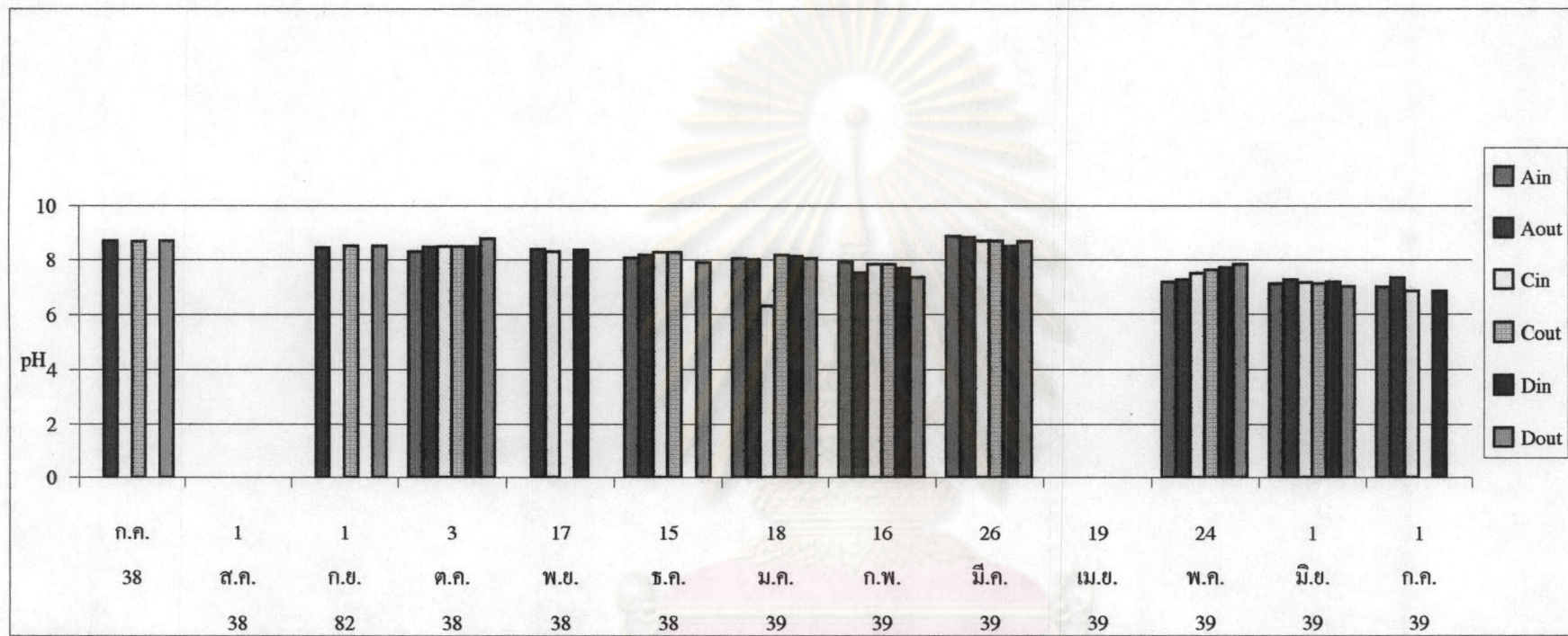
รูปที่ 3.14 ค่าเฉลี่ยความเค็ม ของสถานี A C และ D รอบเก้าทั้งคาว ระหว่างเดือนกรกฎาคม 2538-กรกฎาคม 2539

ศูนย์วิทยทรัพยากร
อุปสงค์น้ำมหาวิทยาลัย



รูปที่ 3.1 ค่าเฉลี่ย DO ของสถานี A C และ D รอบเดือนต่อเดือน ประจำเดือนกรกฎาคม 2538- กรกฎาคม 2539

ศูนย์วิทยทรัพยากร อุปสงค์น้ำมหาวิทยาลัย



รูปที่ 3.16 ค่าเฉลี่ยความเป็นกรด-ด่างของสถานี A C และ D รอบเกาะค้างคา ระหว่างเดือนกรกฎาคม 2538- กรกฎาคม 2539